

## 导致血红蛋白 P-Nilotic 的 $\beta$ - $\delta$ 杂合基因的研究

刘敬忠

T. HARANA, T. H. J. HUISMAN

(中国医学科学院基础医学研究所,北京)

(Medical College of Georgia, Augusta, Ga. 30912, USA)

### 提 要

本文通过基因克隆和测定 DNA 顺序,证明导致血红蛋白变异体 P-Nilotic 的  $\beta$ - $\delta$  杂合基因的不等交换发生在  $\beta$  珠蛋白基因第 275 位碱基与 330 位碱基之间长 54bp 的 DNA 片段上。即第 31 与 50 编码子之间。因此,该杂合基因的第一外显子和第一内含子源于  $\beta$  基因,而第二、三外显子和第二内含子源于  $\delta$  基因。这些结果支持关于第二个内含子影响  $\beta$  珠蛋白基因表达水平的观察<sup>[1]</sup>。

### 引 言

血红蛋白 P-Nilotic 是一种具有特殊非  $\alpha$  链的异常血红蛋白。其第 1—22 残基与  $\beta$  珠蛋白链相同,第 50—146 残基与  $\delta$  珠蛋白链相同<sup>[1]</sup>。它与血红蛋白 Lepore 正好相反,后者第 1—22 残基是  $\delta$  链,50—146 残基是  $\beta$  链<sup>[2]</sup>。这种异常血红蛋白主要在东亚维多利亚湖周围人群中发现。Hb P-Nilotic 约占 20% 的杂合子无临床症状<sup>[3,4]</sup>。蛋白质结构分析资料表明,该种非  $\alpha$  链是一种  $\beta$ - $\delta$  杂合基因的产物。其不等交换可能发生在第一外显子,第一内含子或部分第二外显子中。这种不等交换使  $\beta$  基因簇内诸基因排列为:5'- $\epsilon$ -Gr-Ar- $\phi\beta$ - $\delta$ - $\beta\delta$ - $\beta$ -3'。类似的一种异常血红蛋白 Hb Miyada (1—12 残基是  $\beta$  链,22—146 残基是  $\delta$  链)是一个类似的  $\beta\delta$  杂合基因的产物<sup>[5,6]</sup>。

研究这些  $\beta\delta$  杂合血红蛋白有助于基因表达的研究。这两种杂合 Hb 合成速率介于  $\beta$  链与  $\delta$  链合成速率之间。本文通过基因克隆及测定 DNA 顺序,证明 Hb P-Nilotic 基因的 IVS-1 源于  $\beta$  基因,而 Hb Miyada 基因的 IVS-1 源于  $\delta$  基因。除 IVS-1 不同外,这两个杂合基因都具有  $\beta$  基因的启动子及第一外显子,都具有  $\delta$  基因的第二、第三外显子及第二内

含子 (IVS-2)。

### 材 料 和 方 法

**血液样品** 取自肯尼亚一成年 Hb P-Nilotic 杂合子。样品冷藏空运到美国乔治亚医学院。该异常血红蛋白的鉴定见前文<sup>[7]</sup>。

**提取 DNA** 采用 Poncz 等方法<sup>[8]</sup>从白细胞中提取 DNA。

**基因克隆** 用 Xba I 彻底酶解该 DNA,经 0.8% 琼脂糖凝胶电泳分离,回收 16—20kb 片段并纯化之。与经 Xba I 酶解的 Charon 35 载体 DNA 连接,体外包装,转染宿主菌 *E. coli* K 802 细胞。用  $\beta$ -IVS-2 及  $\delta$ -IVS-2 做为探针筛选含  $\delta$  基因、 $\beta$ - $\delta$  杂合基因及  $\beta$  基因的阳性克隆。

**次级克隆** 含 P-Nilotic 基因的 18kb 片段的重组噬菌体 DNA,经 Pst I 酶解,纯化出含该基因的 3.8 kb 片段,重组进质粒载体 pAT 153。转化宿主菌 *E. coli*, HB101。具有四环素抗性的菌落再用  $\delta$ -IVS-2 和  $\beta$ -IVS-2 两种 <sup>32</sup>P 标记的探针杂交筛选。

**DNA 顺序测定** 用 Mst II 酶解含 3.8kb 片段的重组质粒 DNA。经 6% 聚丙烯酰胺凝胶电泳分离,回收其中 90bp 的片段。用 DNA 聚合酶 I 大片段将其末端修饰成平末端,进而

重组到 M 13 mp 10 的 Sma I 位点<sup>[3]</sup>。提取含 90bp 的重组 M 13 的单链 DNA 做模板,用双脱氧末端终止法测 DNA 顺序<sup>[10]</sup>。

## 结 果

图 1 示出  $\beta$  和  $\delta$  珠蛋白基因第一外显子、

IVS-1 及部分第二外显子 DNA 顺序的详细比较。从以往蛋白质结构资料推测,导致 Hb P-Nilotic 的  $\beta$ - $\delta$  杂合基因的不等交换发生在  $\beta$  基因第 22 编码子与  $\delta$  基因第 50 编码子之间,即第 117 位与 330 位碱基之间。

在进行 Pst I 酶解片段的次级克隆时,3.8

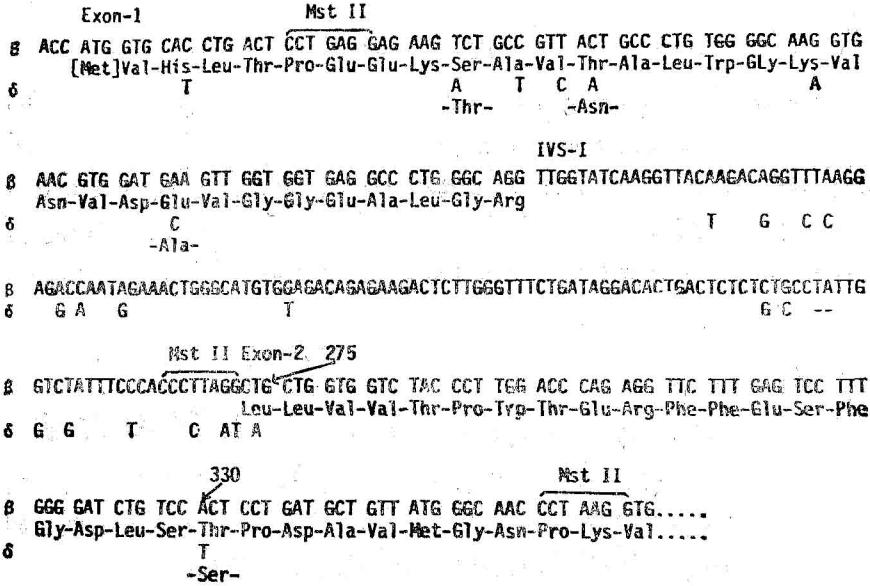


图 1  $\beta$  基因和  $\delta$  基因部分序列的比较以及血红蛋白  $\beta$  链与  $\delta$  链的比较

kb 片段包含  $\beta$ - $\delta$  杂合基因,4.4 kb 片段含  $\beta$  基因,而 2.3kb 片段含  $\delta$  基因(杂交图谱略)。筛选到含 3.8kb 片段的重组 pAT 质粒的克隆,用 Mst II 酶解其 DNA,用 6% 聚丙烯酰胺凝胶电泳分离,EB 染色后,其分离图谱见于图 2。从图 2 A 与 B 可见,含杂合基因与含正常  $\beta$  基因的质粒 DNA 一样,经 Mst II 酶解,都产生 201, 117 及 90bp 长的片段。说明该杂合基因至少到 IVS-1 与第二外显子交界处的 Mst II 位点为止,与  $\beta$  基因具有完全相同的顺序。因为如图 1 所示, $\delta$  基因不存在这一 Mst II 位点。于是,不等交换发生的范围被缩小到此 Mst II 位点与第 50 编码子即第 330 位碱基之间。90bp 长的 Mst II 片段恰好包含这一区段。我们分离纯化了图 2A 中 90 bp DNA 区带,克隆进 M 13 mp 10,并测得重组 M13 的 90 bp 长片段的顺序,结果见图 3。可见,导致 P-Nilotic

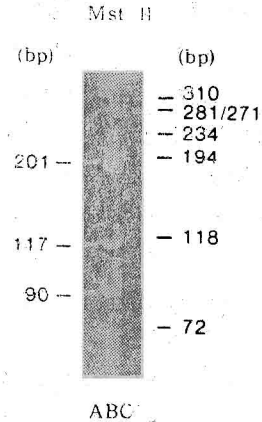


图 2 含 3.8 kb 片段的重组质粒,经 Mst II 酶解后的电泳分离图谱

凝胶为 6% 聚丙烯酰胺

A: pAT-P-Nilotic DNA B: pAT- $\beta$ A (正常  $\beta$  基因) DNA C:  $\phi$ X-174 DNA-Hae III 酶解物。

$\beta$ - $\delta$  杂合基因的不等交换发生在第二外显子 5' 端第 275—330 位碱基之间。

